

CORRIGÉ DE L'ÉPREUVE D'ÉLECTROTECHNIQUE

B1 - Puissance mécanique nécessaire à la marche du train

Q1.1 :

$$F_{rj} = F_a + M_t \cdot g \cdot \sin \alpha \approx F_a + M_t \cdot g \cdot i$$

Q1.2 :

$$F_a = A + B \cdot V + C \cdot V^2$$

avec : $A = 250$; $B = 3,3$; $C = 0,051$

Document réponse DR1 : tableau 1

V (km/h)	0	50	100	200	300	320
F _a (kN)	2,5	5,4	10,9	29,5	58,3	65,3

Q1.3 :

$$F_i = M_t \cdot g \cdot i$$

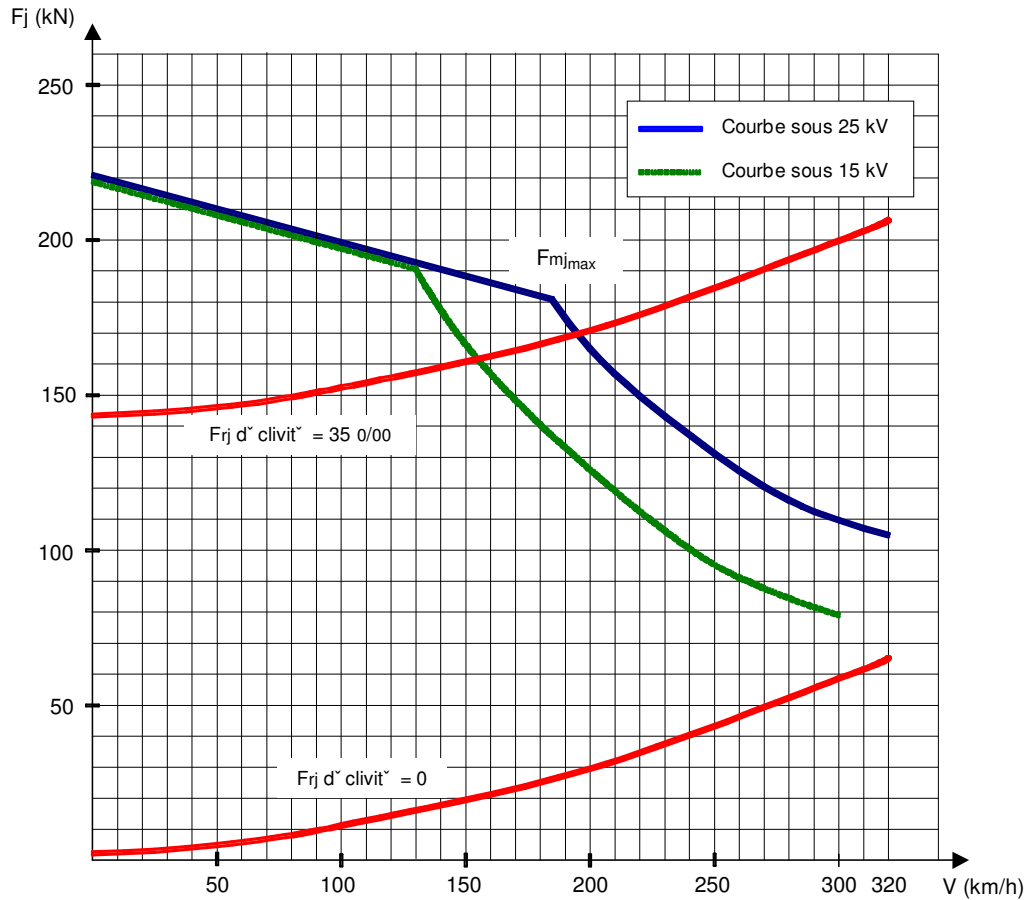
$$\left. \begin{array}{l} M_t = 416 \text{ t} \\ g = 9,81 \text{ m/s}^2 \\ i = 0,035 \end{array} \right\} \Rightarrow F_i = 143 \text{ kN}$$

Document réponse DR1 : tableau 2

V (km/h)	0	50	100	200	300	320
F _{rj} (kN)	145	148	154	172	201	208

Q1.4 :

Document réponse DR1 : effort résistant à la jante



Q1.5 :

- A faible vitesse :
contrôle à $V/f = \text{constante} \Rightarrow$ couple quasi-constant ;
- A vitesse élevée (à partir de 185 km/h sur le réseau français) :
contrôle à $V = \text{constante} \Rightarrow$ puissance constante

Q1.6 :

$$F_{mj} = F_a + F_i + k \cdot M_t \cdot \gamma$$

Q1.7 :

$$\gamma_0 = \frac{F_{mj} - F_a}{k \cdot M_t} \quad (F_i = 0)$$

$$\left. \begin{array}{l} F_{mj} = 220 \text{ kN} \\ F_a = 2,5 \text{ kN} \\ k = 1,04 \\ M_t = 416 \text{ t} \end{array} \right\} \Rightarrow \gamma_0 = 0,5 \text{ m/s}^2$$

Q1.8 :

$$v = \gamma_{\text{moy}} \cdot t + v_0$$

$$x = \frac{1}{2} \gamma_{\text{moy}} \cdot t^2 + v_0 \cdot t + x_0$$

$$v_0 = 0 ; x_0 = 0 \Rightarrow x = \frac{v^2}{2 \cdot \gamma_{\text{moy}}}$$

$$v \text{ (m/s)} = \frac{V \text{ (km/h)}}{3,6}$$

$$\gamma_{\text{moy}} = \frac{\gamma_0 + \gamma_{100}}{2} = \frac{0,5 + 0,437}{2}$$

$$\left. \begin{array}{l} V = 100 \text{ km/h} \\ v = 27,78 \text{ m/s} \\ \gamma_{\text{moy}} = 0,468 \text{ m/s}^2 \end{array} \right\} \Rightarrow \mathbf{x = 825 \text{ m}}$$

Q1.9 :

$$\gamma_r = \frac{F_{mj} - F_a}{k \cdot M_t}$$

- Sous 15 kV, à V = 300 km/h :

$$\left. \begin{array}{l} F_{mj} = 80 \text{ kN} \\ F_a = 58,3 \text{ kN} \end{array} \right\} \Rightarrow \mathbf{\gamma_r = 0,05 \text{ m/s}^2}$$

- Sous 25 kV, à V = 320 km/h :

$$\left. \begin{array}{l} F_{mj} = 105 \text{ kN} \\ F_a = 65,3 \text{ kN} \end{array} \right\} \Rightarrow \mathbf{\gamma_r = 0,09 \text{ m/s}^2}$$

La spécification concernant l'accélération résiduelle en palier à vitesse maximale est donc respectée sur le réseau français et le réseau allemand.

Q1.10 :

$$\text{Couple total à la jante : } C_j = \frac{F_{mj} \cdot d}{2}$$

$$\bullet \text{ Couple développé par chaque moteur : } C_{\text{dem}} = \frac{C_j}{8 \cdot R \cdot \eta_t} = \frac{F_{mj} \cdot d}{16 \cdot R \cdot \eta_t}$$

$$\left. \begin{array}{l} F_{mj} = 220 \text{ kN} \\ d = 0,9 \text{ m} \\ R = 1,977 \\ \eta_t = 0,97 \end{array} \right\} \Rightarrow \mathbf{C_{\text{dem}} = 6453 \text{ Nm}}$$

Q1.11 :

$$N_{\text{roue}}(\text{tr / mn}) = \frac{60 \cdot v}{\pi \cdot d} = \frac{60 \cdot V}{3,6 \cdot \pi \cdot d}$$

$$N_{\text{mot}}(\text{tr / mn}) = \frac{60 \cdot V \cdot R}{3,6 \cdot \pi \cdot d}$$

$$\left. \begin{array}{l} V = 320 \text{ km/h} \\ R = 1,977 \\ d = 0,9 \text{ m} \end{array} \right\} \Rightarrow \quad \mathbf{N_{mot} = 3729 \text{ tr/mn}}$$

Q1.12 :

Puissance totale à la jante : $P_j = F_{mj} \cdot v$

• Puissance fournie, par moteur : $P_{\text{mot}} = \frac{F_{mj} \cdot V}{3,6 \cdot 8 \cdot \eta_t}$

- Sur le réseau français, à 320 km/h :

$$\left. \begin{array}{l} V = 320 \text{ km/h} \\ F_{mj} = 105 \text{ kN} \end{array} \right\} \Rightarrow \quad \mathbf{P_{mot} = 1200 \text{ kW}}$$

- Sur le réseau allemand, à 300 km/h :

$$\left. \begin{array}{l} V = 300 \text{ km/h} \\ F_{mj} = 80 \text{ kN} \end{array} \right\} \Rightarrow \quad \mathbf{P_{mot} = 860 \text{ kW}}$$

B2 – Étude de l'équipement électrique d'une motrice

Q2.1 :

Document réponse DR2 : fonctionnement de l'appareillage

ON = fermé ; OFF = ouvert

Appareil		Q1	Q2	KM1	KM2	KM3	KM4
Réseau	25kV–50 Hz	ON	OFF	OFF	ON	ON	OFF
	15kV–16,7 Hz	ON	OFF	ON	OFF	OFF	OFF
	1500V–CC	OFF	ON	OFF	OFF	ON	ON

Q2.2 : Document réponse DR2

• Courant d'alimentation d'un moteur : $I_m = \frac{P_u}{\sqrt{3} \cdot U_m \cdot \cos \varphi \cdot \eta_m}$

$$\left. \begin{array}{l} P_u = 1200 \text{ kW} \\ U_m = 1390 \text{ V} \\ \cos \varphi = 0,88 \\ \eta_m = 0,95 \end{array} \right\} \Rightarrow I_m = 596 \text{ A}$$

• Courant dans le bus continu : $I_{DC} = \frac{P_u}{\eta_m \cdot \eta_o \cdot U_{DC}}$

$$\left. \begin{array}{l} P_u = 1200 \text{ kW} \\ \eta_o = 0,99 \\ U_{DC} = 1800 \text{ V} \end{array} \right\} \Rightarrow I_{DC} = 709 \text{ A}$$

• Courant au secondaire du transformateur : $I_e = \frac{P_u}{\eta_m \cdot \eta_o \cdot \eta_r \cdot V_e}$

$$\left. \begin{array}{l} P_u = 1200 \text{ kW} \\ \eta_r = 0,98 \\ V_e = 1000 \text{ V} \end{array} \right\} \Rightarrow I_e = 1302 \text{ A}$$

Q2.3 :

Le filtre LC₂ est accordé à 2.f : $L \cdot C_2 = \frac{1}{16 \cdot \pi^2 \cdot f^2}$

• Pour le réseau français, f₁ = 50 Hz : $L_2 = \frac{1}{16 \cdot \pi^2 \cdot f_1^2 \cdot C_2}$

$$C_2 = 5 \text{ mF} \Rightarrow L_2 = 0,5 \text{ mH}$$

• Pour le réseau allemand, f₂ = 16,7 Hz : $L_2 + L_3 = \frac{1}{16 \cdot \pi^2 \cdot f_2^2 \cdot C_2}$

$$\Rightarrow L_3 = 4 \text{ mH}$$

Q2.4 :

- Courant dans une phase rotorique (valeur efficace et phase) :

$$I_{12} = \frac{V_1}{\sqrt{\left(\frac{R_2}{g}\right)^2 + (N_2 \cdot \omega_s)^2}} \quad ; \quad \cos \varphi_{12} = \frac{\frac{R_2}{g}}{\sqrt{\left(\frac{R_2}{g}\right)^2 + (N_2 \cdot \omega_s)^2}}$$

$$\left. \begin{array}{l} V_1 = 800 \text{ V} \\ R_2/g = 1,4545 \, \Omega \\ N_2 \cdot \omega_s = 0,3317 \, \Omega \end{array} \right\} \Rightarrow \begin{array}{l} I_{12} = 536 \text{ A} ; \\ \cos \varphi_{12} = 0,975 : \varphi_{12} = 12,8^\circ \end{array}$$

- Courant magnétisant : $I_0 = \frac{V_1}{L_m \cdot \omega_s}$

$$L_m \cdot \omega_s = 5,322 \, \Omega \quad \Rightarrow \quad I_0 = 150 \text{ A} ; \varphi_0 = 90^\circ$$

- Courant dans une phase du stator :

$$I_1 = \sqrt{I_{1a}^2 + I_{1r}^2} \quad \text{avec : } I_{1a} = I_{12} \cdot \cos \varphi_{12} \\ \text{et : } I_{1r} = I_{12} \cdot \sin \varphi_{12} + I_0$$

$$\left. \begin{array}{l} I_{12} = 536 \text{ A} \\ \cos \varphi_{12} = 0,975 \\ I_0 = 150 \text{ A} \end{array} \right\} \Rightarrow \quad I_1 = 588 \text{ A}$$

Q2.5 :

- Expression des puissances :

$$\text{- pertes joules rotor : } P_{jr} = 3 \cdot R_2 \cdot I_{12}^2$$

$$\text{- puissance transmise au rotor : } P_{tr} = 3 \cdot \frac{R_2}{g} \cdot I_{12}^2$$

$$\text{- pertes joules stator : } P_{js} = 3 \cdot R_1 \cdot I_1^2$$

$$\text{- puissance absorbée sur le réseau : } P_a = P_{tr} + P_{js}$$

$$\text{- pertes mécaniques : } P_{m\check{c}a} = P_{tr} - (P_u + P_{jr})$$

Application numérique :

$$\left. \begin{array}{l} R_2 = 32 \text{ m}\Omega \\ R_2/g = 1,4545 \text{ }\Omega \\ R_1 = 22 \text{ m}\Omega \\ I_{12} = 536 \text{ A} \\ I_1 = 588 \text{ A} \\ P_u = 12000 \text{ kW} \end{array} \right\} \Rightarrow \begin{array}{l} P_{jr} = 27,58 \text{ kW} \\ P_{tr} = 1253,6 \text{ kW} \\ P_{js} = 22,8 \text{ kW} \\ P_a = 1276,4 \text{ kW} \\ P_{méca} = 26 \text{ kW} \end{array}$$

• Rendement nominal du moteur : $\eta_m = \frac{P_u}{P_a} : \eta_m = 0,94$

Q2.6 :

• Puissance réactive magnétisante : $Q_m = \frac{3 \cdot V_1^2}{L_m \cdot \omega_s}$

• Puissance réactive due au flux de fuite : $Q_f = 3 \cdot N_2 \cdot \omega_s \cdot I_{12}^2$

$$\left. \begin{array}{l} V_1 = 800 \text{ V} \\ I_{12} = 536 \text{ A} \\ L_m \cdot \omega_s = 5,32 \text{ }\Omega \\ N_2 \cdot \omega_s = 0,3317 \text{ }\Omega \end{array} \right\} \Rightarrow \begin{array}{l} Q_m = 360,9 \text{ kVAr} \\ Q_f = 285,9 \text{ kVAr} \end{array}$$

Q2.7 :

- Facteur de puissance : $\cos \varphi_n = \frac{P_a}{\sqrt{P_a^2 + (Q_m + Q_f)^2}}$

$$\left. \begin{array}{l} P_a = 1276,4 \text{ kW} \\ Q_m = 360,9 \text{ kVAr} \\ Q_f = 285,9 \text{ kVAr} \end{array} \right\} \Rightarrow \cos \varphi_n = 0,89$$

Q2.8 :

$$P_{tr} = C \cdot \Omega_s \Rightarrow C = \frac{P_{tr}}{\Omega_s} = p \cdot \frac{P_{tr}}{\omega_s}$$

$$P_{tr} = 3 \cdot \frac{R_2}{g} \cdot I_{12}^2 = 3 \cdot \frac{R_2}{g} \cdot \frac{V_1^2}{\left(\frac{R_2}{g}\right)^2 + (N_2 \cdot \omega_s)^2}$$

$$\text{On en déduit : } C = \frac{3 \cdot p \cdot V_1^2}{\omega_s} \cdot \frac{\frac{R_2}{g}}{\left(\frac{R_2}{g}\right)^2 + (N_2 \cdot \omega_s)^2} \quad (1)$$

En écrivant : $g = \frac{\omega_r}{\omega_s}$, on établit l'expression du couple en fonction de ω_r et $\frac{V_1}{\omega_s}$:

$$C = 3 \cdot p \cdot \left(\frac{V_1}{\omega_s}\right)^2 \cdot \frac{R_2}{\frac{R_2^2}{\omega_r} + N_2^2 \cdot \omega_r} \quad (2)$$

Q2.9 :

Expression simplifiée du couple électromagnétique, autour du point de fonctionnement nominal (à faible glissement) :

$$g \rightarrow 0 \Rightarrow N_2^2 \cdot \omega_r \ll \frac{R_2^2}{\omega_r}$$

$$\text{On en déduit : } C = \frac{3 \cdot p}{R_2} \cdot \left(\frac{V_1}{\omega_s}\right)^2 \cdot \omega_r = k \cdot \omega_r \quad (3)$$

$$V_1 = 800 \text{ V}$$

$$p = 3$$

$$R_2 = 32 \text{ m}\Omega$$

$$\omega_s = 691,1 \text{ rd/s}$$

$$\omega_r = g \cdot \omega_s = 15,2 \text{ rd/s}$$

$$\Rightarrow$$

$$C_n = 5730 \text{ Nm}$$

Q2.10 :

Dans l'expression (2), quand le glissement varie, le couple passe par un maximum quand

la somme $\left(\frac{R_2^2}{\omega_r} + N_2^2 \cdot \omega_r\right)$ est minimale.

Le produit $\left(\frac{R_2^2}{\omega_r} \times N_2^2 \cdot \omega_r\right)$ est constant $(R_2 \cdot N_2)^2 \Rightarrow$ la somme est minimale quand les

2 termes sont égaux : $\frac{R_2^2}{\omega_r} = N_2^2 \cdot \omega_r$

On en déduit la valeur de la pulsation rotorique qui correspond au maximum du couple

électromagnétique : $\omega_{r_{\max}} = \frac{R_2}{N_2}$

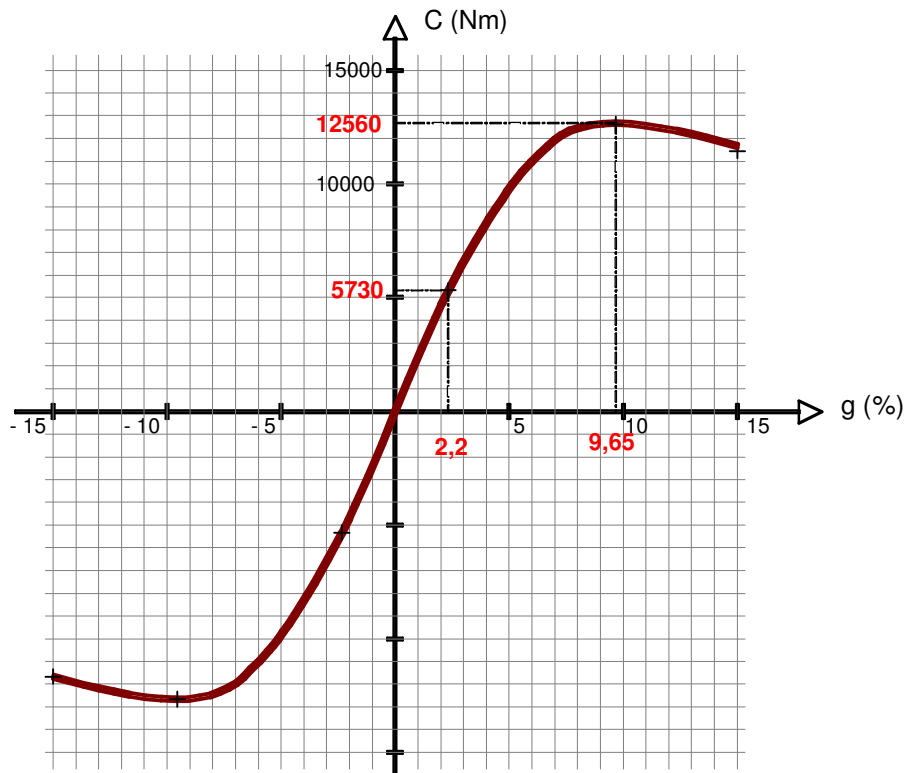
Alors (2) $\Rightarrow C_{\max} = 3 \cdot p \cdot \left(\frac{V_1}{\omega_s} \right)^2 \cdot \frac{1}{2 \cdot N_2}$ pour $g_{\max} = \frac{R_2}{N_2 \cdot \omega_s}$

Application numérique :

$$\left. \begin{array}{l} p = 3 \\ V_1 = 800 \text{ V} \\ \omega_s = 691,1 \text{ rd/s} \\ N_2 = 480 \mu\text{H} \\ R_2 = 32 \text{ m}\Omega \end{array} \right\} \Rightarrow \begin{array}{l} \mathbf{C_{\max} = 12560 \text{ Nm}} \\ \text{pour } \mathbf{g_{\max} = 9,65 \%} \end{array}$$

Q2.11 :

Document réponse DR3 : Allure de la caractéristique $C(g)$ pour $|g| < 15 \%$



Q2.12 :

• Couple utile sur l'arbre moteur : $C_u = \frac{P_u}{\Omega_n} = \frac{P_u}{\Omega_s \cdot (1 - g_n)}$

$$\left. \begin{array}{l} P_u = 1200 \text{ kW} \\ \Omega_s = \omega_s / p = 230 \text{ rd/s} \\ g_n = 2,2 \% \end{array} \right\} \Rightarrow \quad \mathbf{C_u = 5326 \text{ Nm}}$$

• Effort à la jante pour l'ensemble des 8 moteurs :

$$C_j = 8 \cdot C_u \cdot \eta_t \cdot R = \frac{F_{mj} \cdot d}{2} \Rightarrow F_{mj} = \frac{16 \cdot C_u \cdot \eta_t \cdot R}{d}$$

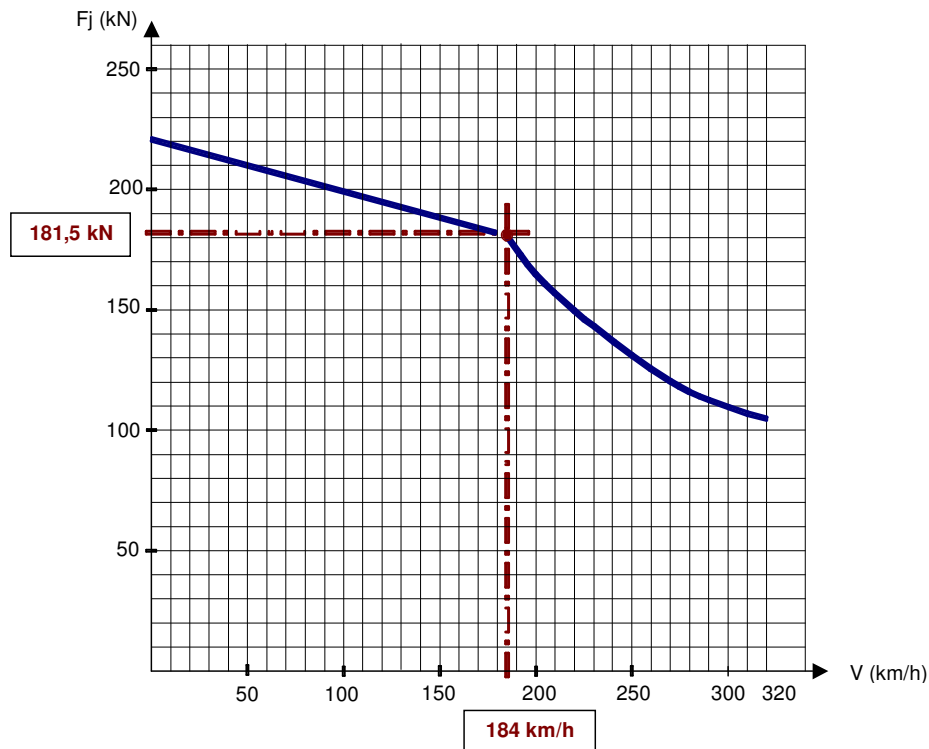
$$\left. \begin{array}{l} C_u = 5326 \text{ Nm} \\ \eta_t = 0,97 \\ R = 1,977 \\ d = 0,9 \text{ m} \end{array} \right\} \Rightarrow \quad \mathbf{F_{mj} = 181,5 \text{ kN}}$$

• Vitesse de déplacement du train :

$$\Omega_{roue} = \frac{\Omega_s \cdot (1 - g_n)}{R} = \frac{2 \cdot V}{3,6 \cdot d} \Rightarrow V = \frac{3,6 \cdot \Omega_s \cdot (1 - g_n) \cdot d}{2 \cdot R}$$

$$\left. \begin{array}{l} \Omega_s = 230 \text{ rd/s} \\ g_n = 2,2 \% \\ R = 1,977 \\ d = 0,9 \text{ m} \end{array} \right\} \Rightarrow \quad \mathbf{V = 184,3 \text{ km/h}}$$

Document réponse DR3 : Point de fonctionnement nominal



Q2.13 :

$$\text{Relation (3) : } C = \frac{3 \cdot p}{R_2} \cdot \left(\frac{V_1}{\omega_s} \right)^2 \cdot \omega_r$$

$$\omega_r = g \cdot \omega_s = \frac{\Omega_s - \Omega}{\Omega_s} \cdot \omega_s = p \cdot (\Omega_s - \Omega)$$

On en déduit l'expression de C en fonction de la vitesse angulaire Ω :

$$C = \frac{3 \cdot p^2 \cdot V_1^2}{R_2 \cdot \omega_s^2} \cdot (\Omega_s - \Omega)$$

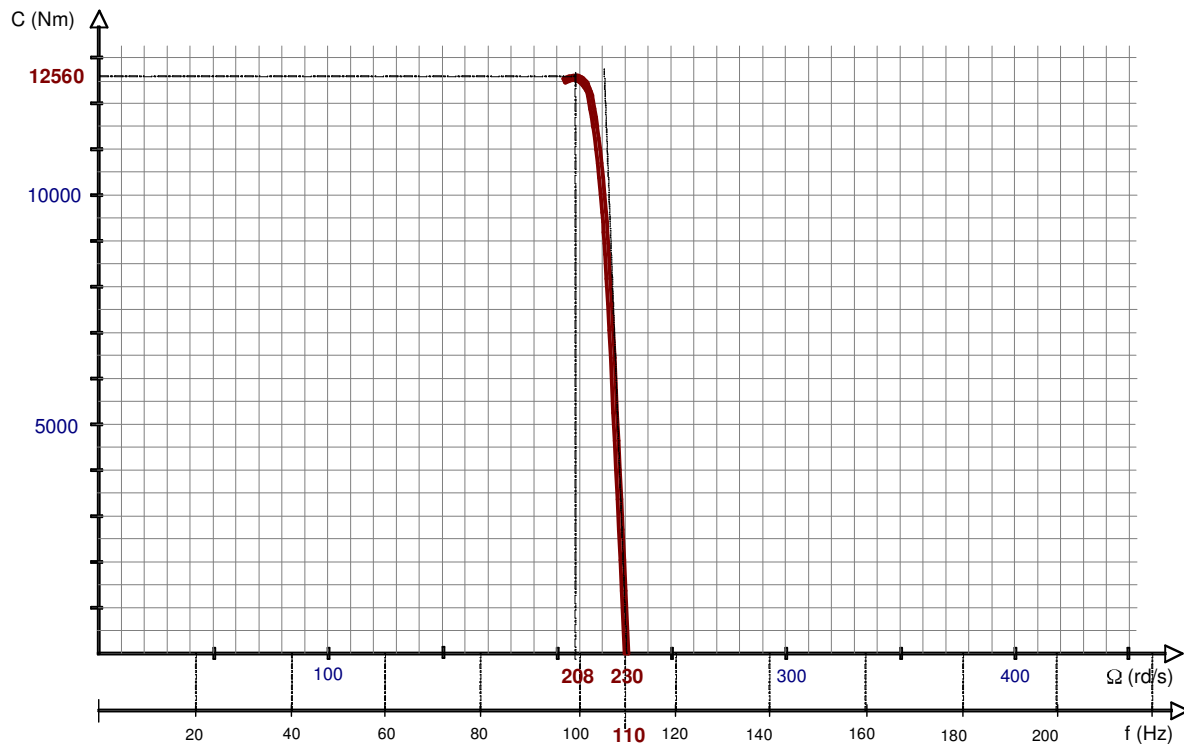
Pour tracer la caractéristique C (Ω), on calcule les valeurs des paramètres :

$$- \left| \frac{\Delta C}{\Delta \Omega} \right| = \frac{3 \cdot p^2 \cdot V_1^2}{R_2 \cdot \omega_s^2} \quad \Rightarrow \quad \frac{\Delta C}{\Delta \Omega} = -1130$$

$$- C_{\max} = 3 \cdot p \cdot \left(\frac{V_1}{\omega_s} \right)^2 \cdot \frac{1}{2 \cdot N_2} \quad \Rightarrow \quad C_{\max} = 12560 \text{ Nm}$$

$$- \Delta \Omega_m = \frac{\omega_{r_{\max}}}{p} = \frac{R_2}{p \cdot N_2} \quad \Rightarrow \quad \Delta \Omega_m = 22,2 \text{ rd/s}$$

Document réponse DR4 : allure de la caractéristique $C = f(\Omega)$, pour $f = 110 \text{ Hz}$



Q2.14 :

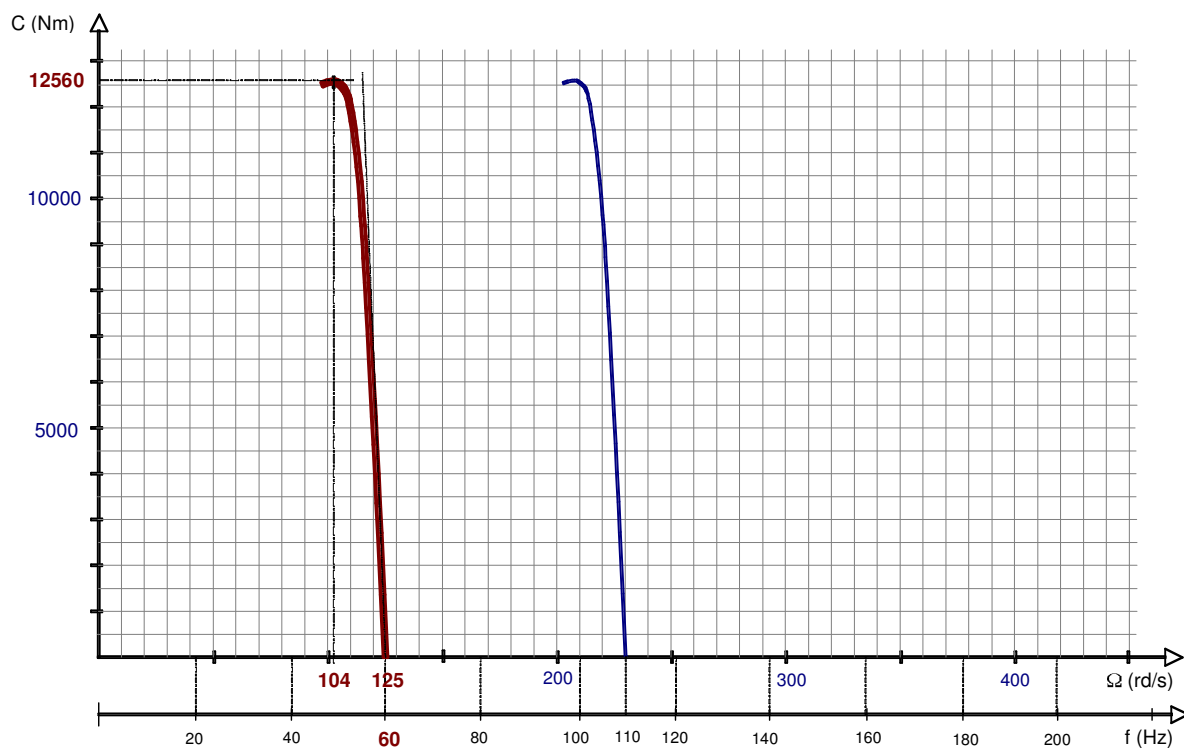
Pour $f < f_n$, on règle la vitesse en agissant simultanément sur f et V :

$$- \left| \frac{\Delta C}{\Delta \Omega} \right| = \frac{3 \cdot p^2 \cdot V_1^2}{R_2 \cdot \omega_s^2} \Rightarrow \frac{\Delta C}{\Delta \Omega} \text{ ne varie pas : } \frac{\Delta C}{\Delta \Omega} = -1130$$

$$- C_{\max} = 3 \cdot p \cdot \left(\frac{V_1}{\omega_s} \right)^2 \cdot \frac{1}{2 \cdot N_2} = \text{constante} : C_{\max} = 12560 \text{ Nm}$$

$$- \Delta \Omega_m = \frac{\omega_{r_{\max}}}{p} = \frac{R_2}{p \cdot N_2}, \text{ ne dépend pas de la fréquence : } \Delta \Omega_m = 22,2 \text{ rd/s}$$

Document réponse DR4 : allure de la caractéristique $C = f(\Omega)$, pour $f = 60 \text{ Hz}$



Q2.15 :

Pour $f > f_n$, on règle la vitesse en agissant sur f , avec $V = V_n$:

$$C = \frac{3 \cdot p^2 \cdot V_1^2}{R_2} \cdot \frac{(\Omega_s - \Omega)}{\omega_s^2} = \frac{3 \cdot V_1^2}{R_2} \cdot \frac{(\Omega_s - \Omega)}{\Omega_s^2}$$

$$- \left| \frac{\Delta C}{\Delta \Omega} \right| = \frac{3 \cdot V_1^2}{R_2} \times \frac{1}{\Omega_s^2} = \frac{3 \cdot p^2 \cdot V_1^2}{4 \cdot \pi^2 \cdot R_2} \times \frac{1}{f^2} \Rightarrow \frac{\Delta C}{\Delta \Omega} \text{ diminue quand } f \text{ augmente.}$$

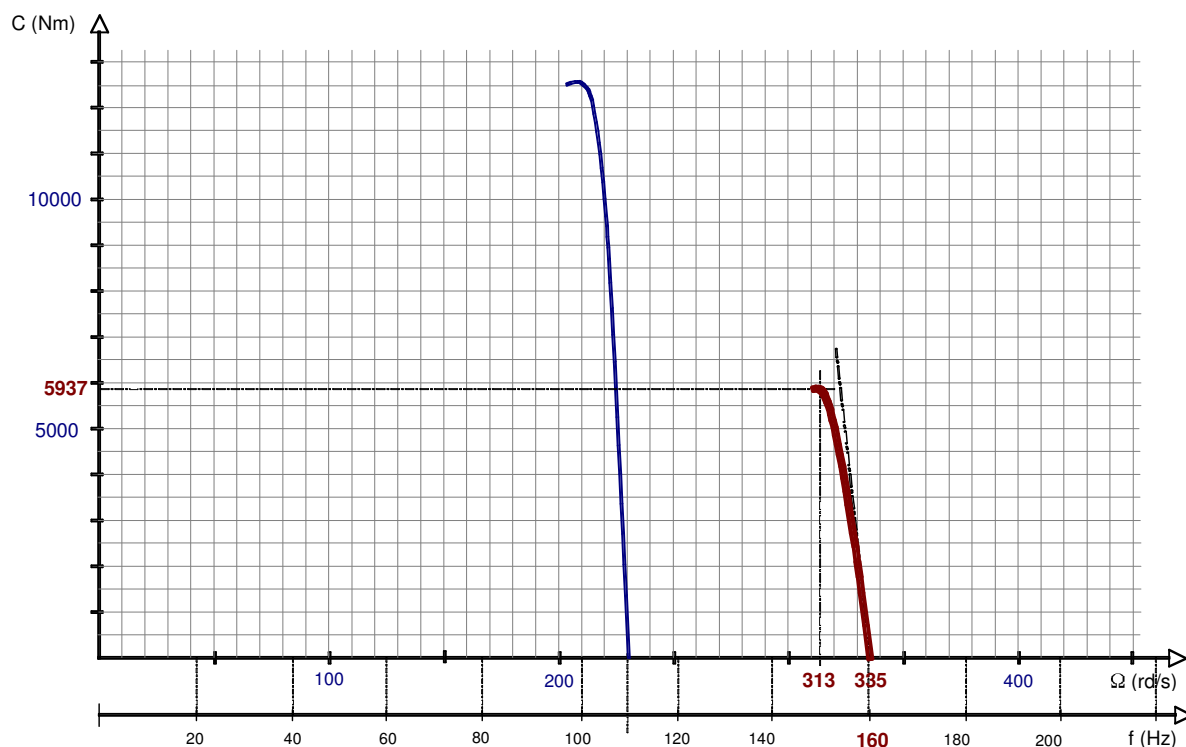
• Pour $f = 160 \text{ Hz}$: $\frac{\Delta C}{\Delta \Omega} = -534$

$$- C_{\max} = \frac{3 \cdot p \cdot V_1^2}{2 \cdot N_2 \cdot \omega_s^2} = \frac{3 \cdot p \cdot V_1^2}{8 \cdot \pi^2 \cdot N_2} \times \frac{1}{f^2} \Rightarrow C_{\max} \text{ diminue quand } f \text{ augmente.}$$

• Pour $f = 160 \text{ Hz}$: $C_{\max} = 5937 \text{ Nm}$

$$- \Delta \Omega_m = \frac{\omega_{r_{\max}}}{p} = \frac{R_2}{p \cdot N_2}, \text{ ne dépend pas de la fréquence : } \Delta \Omega_m = 22,2 \text{ rd/s}$$

Document réponse DR4 : allure de la caractéristique $C = f(\Omega)$, pour $f = 160 \text{ Hz}$



Q2.16 :

- A $V_{\max} = 320 \text{ km/h}$, l'effort moteur à la jante est : **$F_{mj} = 105 \text{ kN}$** .

- Vitesse angulaire sur l'arbre moteur : $\Omega_{\text{mot}} = R \cdot \Omega_{\text{roue}} = \frac{2 \cdot R \cdot V}{3,6 \cdot d}$

$$\left. \begin{array}{l} V = 320 \text{ km/h} \\ R = 1,977 \\ d = 0,9 \text{ m} \end{array} \right\} \Rightarrow \quad \Omega_{\text{mot}} = 390 \text{ rd/s}$$

- Couple sur l'arbre d'un moteur : $C_u = \frac{F_{mj} \cdot d}{16 \cdot R \cdot \eta_t}$

$$\left. \begin{array}{l} F_{mj} = 105 \text{ kN} \\ d = 0,9 \text{ m} \\ R = 1,977 \\ \eta_t = 97 \% \end{array} \right\} \Rightarrow \quad C_u = 3080 \text{ Nm}$$

- A partir de l'expression du couple établie en Q2.13 :

$$C = \frac{3 \cdot p^2 \cdot V_1^2}{R_2} \cdot \frac{(\Omega_s - \Omega)}{\omega_s^2} = \frac{3 \cdot V_1^2}{R_2} \cdot \frac{(\Omega_s - \Omega)}{\Omega_s^2}, \text{ on écrit l'équation permettant de calculer } \Omega_s$$

et d'en déduire la fréquence.

$$\Omega_s^2 - \frac{3 \cdot V_1^2}{R_2 \cdot C} \cdot \Omega_s + \frac{3 \cdot V_1^2 \cdot \Omega}{R_2 \cdot C} = 0$$

Résolution de l'équation du 2^{ème} degré :

$$\Omega_s^2 - 19,48 \cdot 10^3 \times \Omega_s + 7597,4 \cdot 10^3 = 0$$

$$\sqrt{\Delta} = 18,68 \cdot 10^3$$

On retient la solution qui donne une valeur de Ω_s proche de Ω_{mot} .

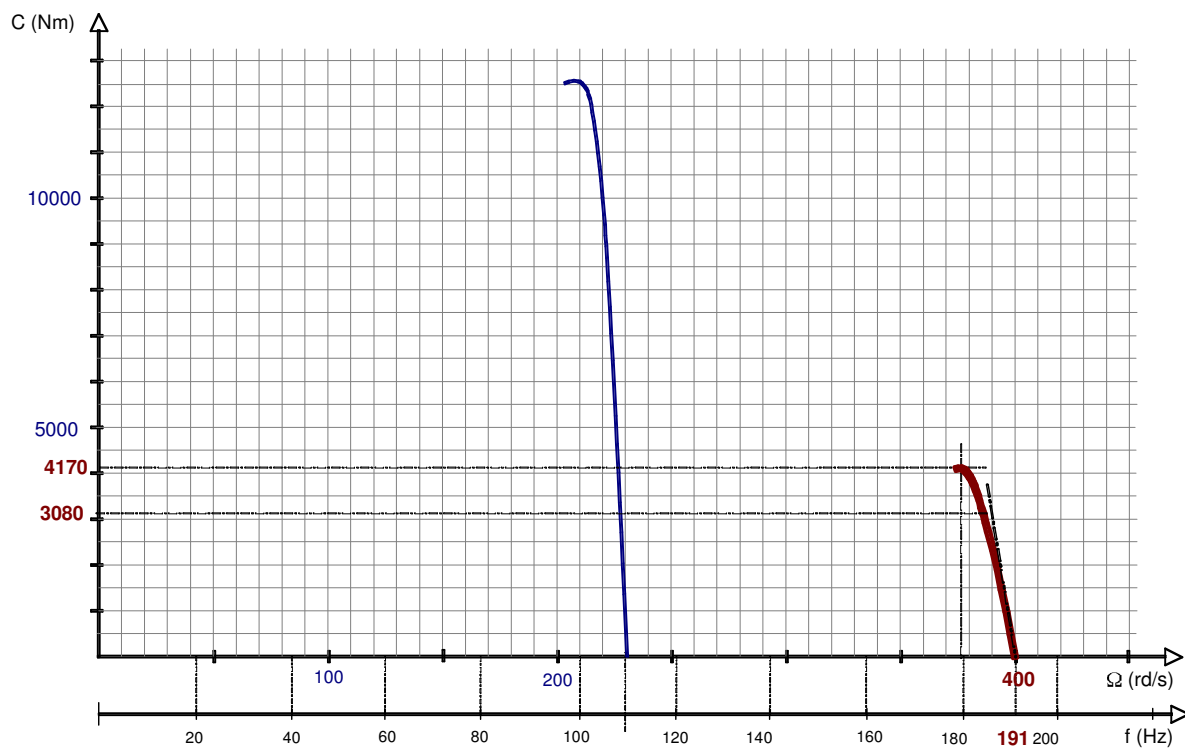
$$\Omega_s = \frac{-b - \sqrt{\Delta}}{2 \cdot a} = 400 \text{ rd/s} \quad \Rightarrow \quad f = \frac{p \cdot \Omega_s}{2 \cdot \pi} = 191 \text{ Hz}$$

Pour $f = 191 \text{ Hz}$, on calcule :

$$- \left| \frac{\Delta C}{\Delta \Omega} \right| = \frac{3 \cdot p^2 \cdot V_1^2}{4 \cdot \pi^2 \cdot R_2} \times \frac{1}{f^2} \quad \Rightarrow \quad \frac{\Delta C}{\Delta \Omega} = 375$$

$$- C_{\max} = \frac{3 \cdot p \cdot V_1^2}{8 \cdot \pi^2 \cdot N_2} \times \frac{1}{f^2} \quad \Rightarrow \quad C_{\max} = 4170 \text{ Nm}$$

Document réponse DR4 : allure de la caractéristique $C = f(\Omega)$, pour $f = 191 \text{ Hz}$



B3 ÉTUDE DES PONTS MONOPHASÉS A COMMUTATION FORCÉE.

Q3.1 :

$$v_{emoy} = v_{1moy} - v_{2moy} = (2.\alpha - 1).E$$

$$v_{emoy} = m_a.E.\sin(\omega.t - \psi)$$

Q3.2 :

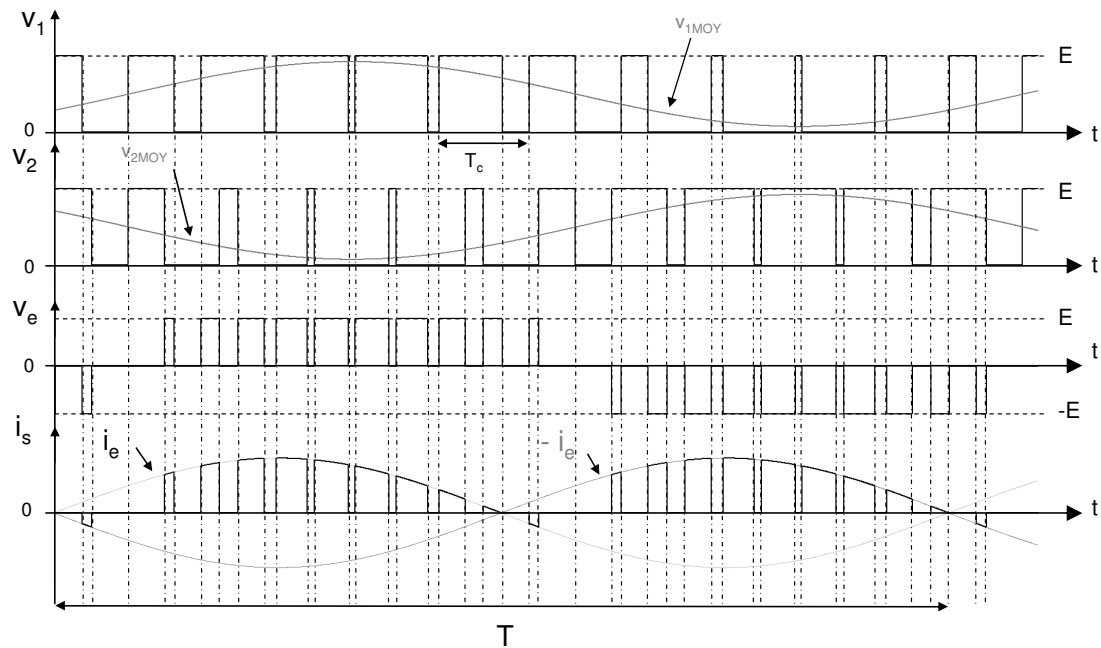
$$P_e = \frac{m_a.E.\hat{I}_e}{2} \cos \psi ; \text{ le sens de transfert de la puissance active dépend de } \psi.$$

Q3.3 :

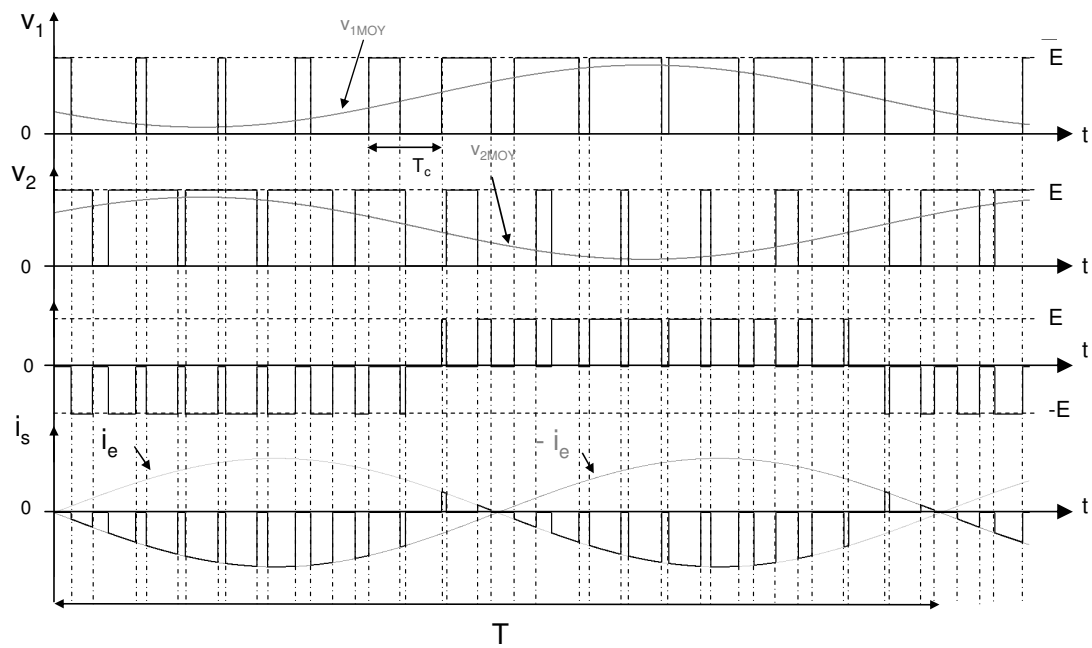
$$p_e = v_e \cdot i_e = E \cdot i_s \text{ d'où } i_s = i_e \frac{v_e}{E}$$

$$i_s = +i_e \text{ si } v_e = E ; i_s = 0 \text{ si } v_e = 0 ; i_s = -i_e \text{ si } v_e = -E$$

DR5. PMCF – Formes d'ondes idéales pour $\psi = 30^\circ$



DR6. PMCF – Formes d'ondes idéales pour $\psi = 150^\circ$



Q3.4 :

$$f_{a-dec} = 2.f_c.$$

Q3.5 :

Le PMCF est un onduleur de tension et un redresseur de courant.

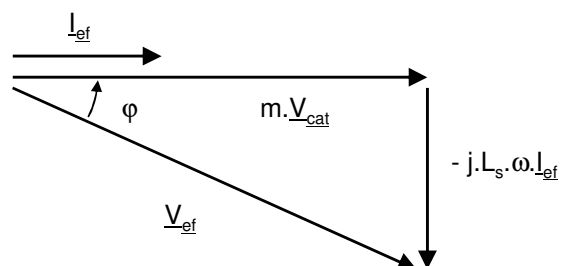
Q3.6 :

$$P_e = 1250 \text{ kW} ; P_e = m.V_{cat}.I_{ef} ; I_{ef} = 1250 \text{ A}$$

Q3.7 :

$$m.V_{cat} = V_{ef} + j.L_s.\omega.I_{ef}$$

$$m.V_{cat} = 1000 \text{ V} ; L_s.\omega = 352 \text{ m } \Omega ; I_{ef} = 1250 \text{ A}$$



Q3.8 :

$$V_{ef} = \sqrt{(m \cdot V_{cat})^2 + (L_s \cdot \omega \cdot I_{ef})^2} = 1092 \text{ V}$$

$$m_a = \frac{V_{ef} \cdot \sqrt{2}}{E} = 0,86 ; \cos \varphi = \frac{m \cdot V_{cat}}{V_{ef}} = 0,91$$

Q3.9 :

$$v_{ef} = m_a \cdot E \cdot \sin(\omega t - \varphi)$$

$$i_{ef} = \hat{I}_{ef} \cdot \sin \omega t \text{ d'où } p_e = \frac{m_a \cdot E \cdot \hat{I}_{ef}}{2} \cdot (\cos \varphi - \cos(2\omega t - \varphi))$$

$$p_e = E \cdot i_{smoy} \text{ d'où } i_{smoy} = \frac{m_a \cdot \hat{I}_{ef}}{2} \cdot (\cos \varphi - \cos(2\omega t - \varphi))$$

$$\text{Terme constant : } \frac{m_a \cdot \hat{I}_{ef}}{2} \cos \varphi = 694,4 \text{ A}$$

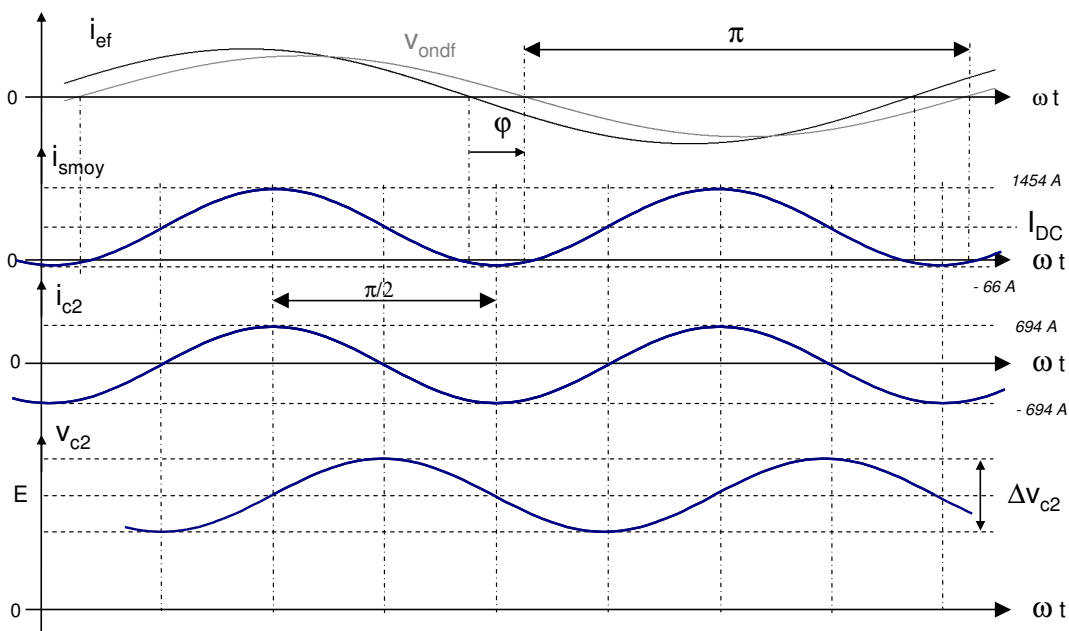
$$\text{Terme fluctuant : } \frac{m_a \cdot \hat{I}_{ef}}{2} = 760 \text{ A}$$

Q3.10 :

à la fréquence $2.f$, le circuit L_2C_2 est un court circuit, c'est lui qui va conduire la composante fluctuante du courant i_{smoy} .

Q3.11 :

DR7. PMCF – Tracé des formes d'ondes à la fréquence fondamentale



Q3.12 :

$$i_{C2} = -\frac{m_a \cdot \hat{i}_{ef}}{2} \cdot \cos(2\omega t - \varphi)$$

$$v_{C2} = E - \frac{1}{2 \cdot C_2 \cdot \omega} \frac{m_a \cdot \hat{i}_{ef}}{2} \cdot \sin(2\omega t - \varphi)$$

$$\Delta v_{C2} = 2 \cdot \frac{1}{2 \cdot C_2 \cdot \omega} \frac{m_a \cdot \hat{i}_{ef}}{2} = \frac{m_a \cdot \hat{i}_{ef}}{2 \cdot C_2 \cdot \omega}$$

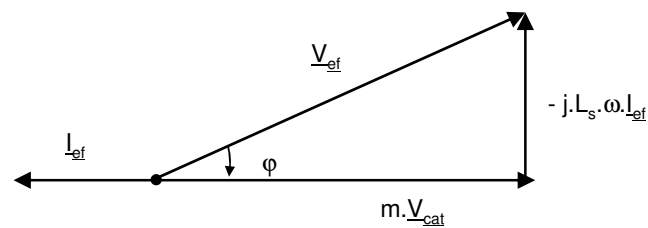
$$\Delta v_{C2} = \frac{E}{4} \rightarrow C_2 = 5,4 \text{ mF}$$

Pour réaliser l'accord à 100 Hz : $L_2 = 469 \text{ } \mu\text{H}$.

Q3.13 :

$$P_{\text{jante}} = 1100 \text{ kW} ; P_{\text{restituée}} = 1013,6 \text{ kW} \rightarrow I_{ef} = 1013,6 \text{ A}$$

Q3.14 :



Q3.15 :

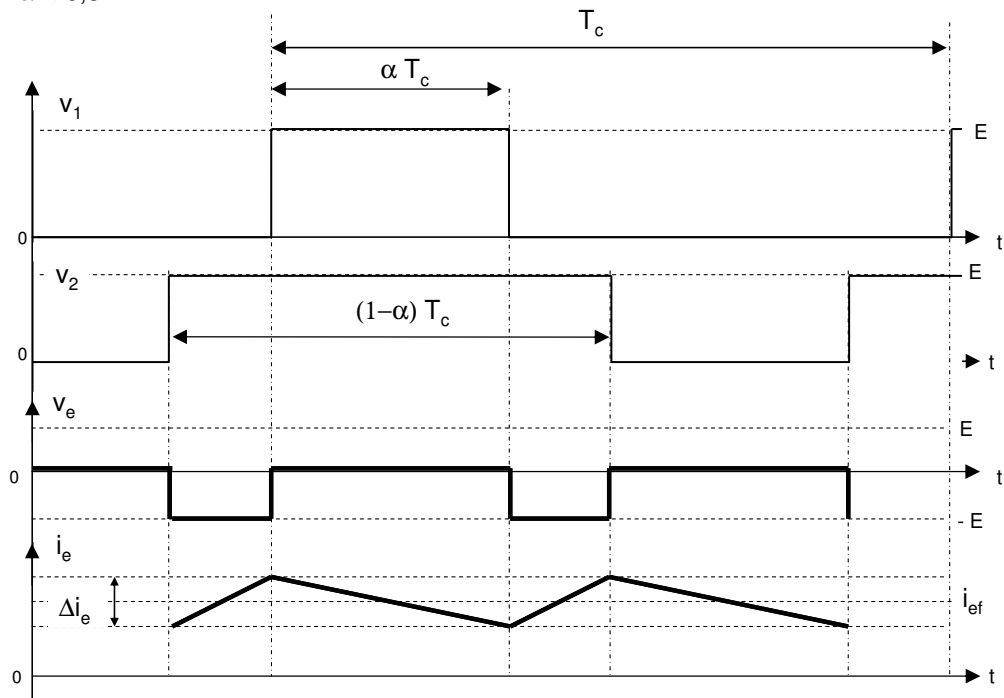
$$V_{ef} = \sqrt{(m \cdot V_{cat})^2 + (L_s \cdot \omega \cdot I_{ef})^2} = 1061,6 \text{ V}$$

$$m_a = \frac{V_{ef} \cdot \sqrt{2}}{E} = 0,83 ; \cos \varphi = \frac{m \cdot V_{cat}}{V_{ef}} = 0,94 ; \varphi = -19,6^\circ$$

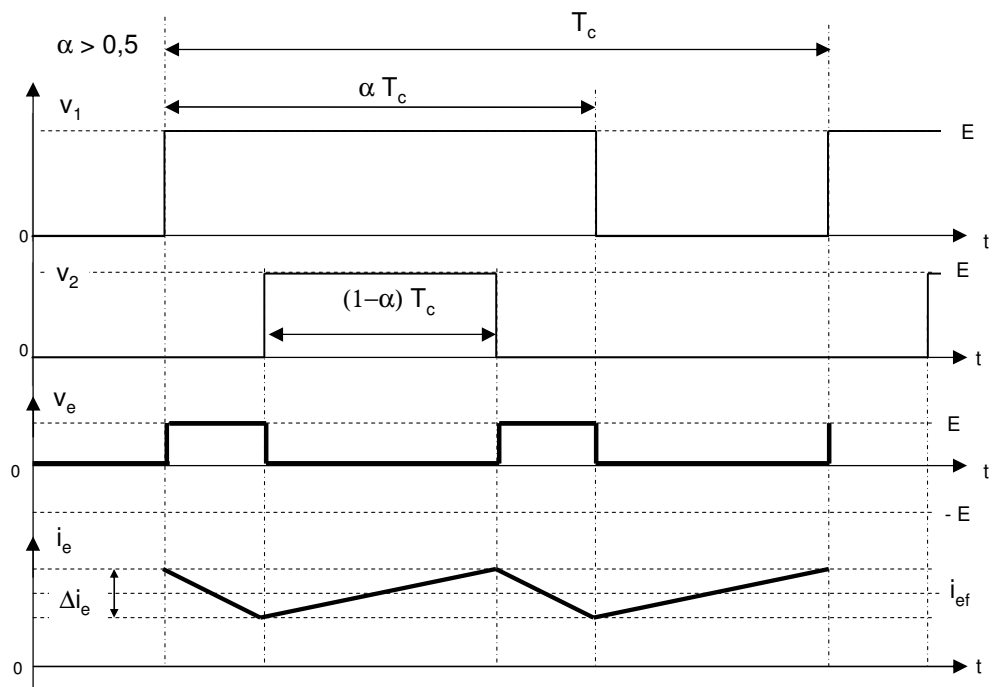
Q3.16 :

DR8. PMCF – Tracé des formes d'ondes à la fréquence de découpage
Ondulation du courant d'entrée pour $\alpha < 0,5$

$\alpha < 0,5$



DR9. PMCF – Tracé des formes d'ondes à la fréquence de découpage
Ondulation du courant d'entrée pour $\alpha > 0,5$



Q3.17 :

$0 < \alpha < \frac{1}{2}$: sur l'intervalle de durée $\alpha \cdot T_c$, on peut écrire

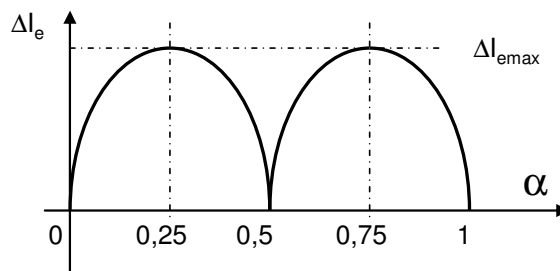
$$\frac{L_s \cdot \Delta I_e}{\alpha \cdot T_c} = (2\alpha - 1)E \rightarrow |\Delta I_e| = \frac{\alpha(2\alpha - 1)E}{L_s \cdot f_c}$$

Cette ondulation est maximale pour $\alpha = \frac{1}{4}$: $\Delta I_{e\max} = \frac{E}{8 \cdot L_s \cdot f_c}$

$\frac{1}{2} < \alpha < 1$: sur l'intervalle de durée $(1-\alpha) \cdot T_c$, on peut écrire

$$\frac{L_s \cdot \Delta I_e}{(1-\alpha) \cdot T_c} = (2\alpha - 1)E \rightarrow \Delta I_e = \frac{(1-\alpha)(2\alpha - 1)E}{L_s \cdot f_c}$$

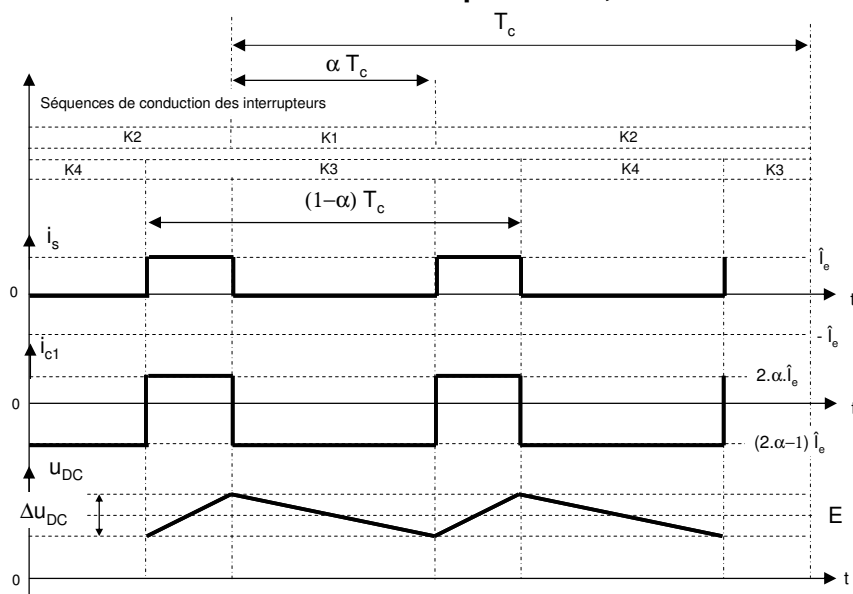
Cette ondulation est maximale pour $\alpha = \frac{3}{4}$: $\Delta I_{e\max} = \frac{E}{8 \cdot L_s \cdot f_c}$



Application numérique : $L_s = 1,12 \text{ mH}$, $f_c = 550 \text{ Hz}$, $E = 1800 \text{ V} \rightarrow \Delta I_{e\max} = 365 \text{ A}$

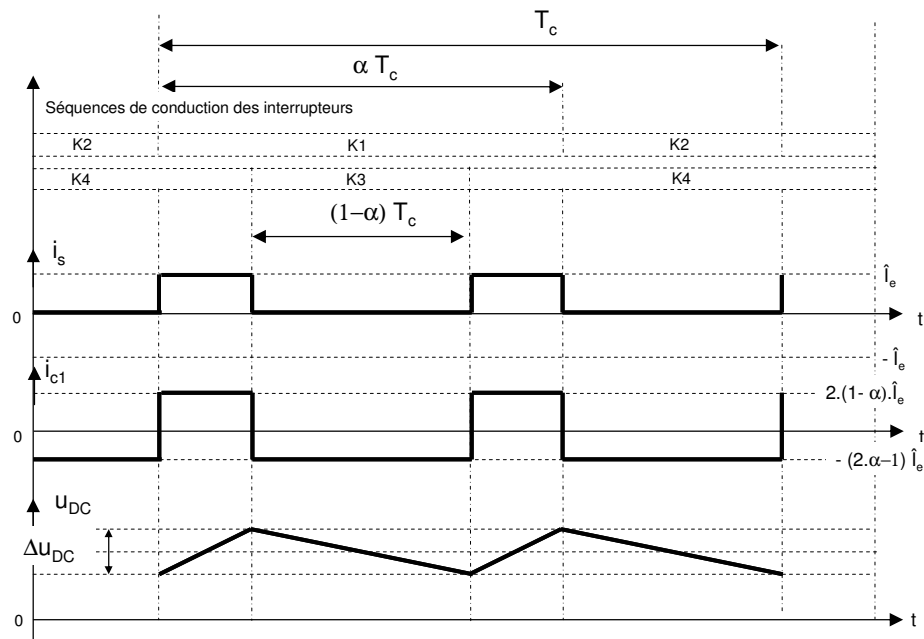
Q3.18 :

DR10. PMCF – Tracé des formes d'ondes à la fréquence de découpage
Ondulation de tension du bus DC pour $\alpha < 0,5$ et $i_e = -\hat{I}_e$



Q3.19 :

DR11. PMCF – Tracé des formes d'ondes à la fréquence de découpage
Ondulation de tension du bus DC pour $\alpha > 0,5$ et $i_e = + \hat{i}_e$



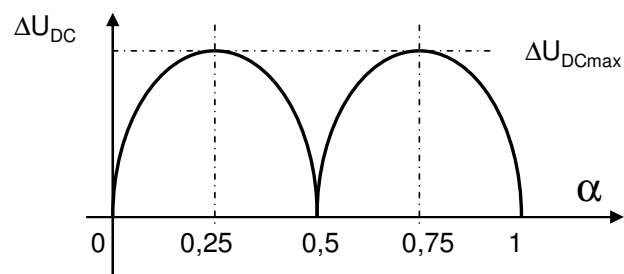
Q3.20 :

$$0 < \alpha < \frac{1}{2} : |\Delta U_{DC}| = \frac{\alpha \cdot (2\alpha - 1) \cdot \hat{i}_e}{C_1 \cdot f_c}$$

Cette ondulation est maximale pour $\alpha = \frac{1}{4} : \Delta U_{DCmax} = \frac{\hat{i}_e}{8 \cdot C_1 \cdot f_c}$

$$\frac{1}{2} < \alpha < 1 : \Delta U_{DC} = \frac{(1-\alpha) \cdot (2\alpha - 1) \cdot \hat{i}_e}{C_1 \cdot f_c}$$

Cette ondulation est maximale pour $\alpha = \frac{3}{4} : \Delta U_{DCmax} = \frac{\hat{i}_e}{8 \cdot C_1 \cdot f_c}$



□ $U_{DCmax} = 5\% \cdot E = 90 \text{ V} \rightarrow C_1 = 4,4 \text{ mF}$.

Q3.21 :

$$\text{Pour } v_1 : v_1 = A_{01} + \sum_{n=1}^{\infty} A_{n1} \cdot \cos(n \cdot \omega_c \cdot t)$$

$$A_{01} = \alpha \cdot E ; A_{n1} = \frac{2 \cdot E}{\pi} \int_0^{\alpha \pi} \cos n \cdot \theta_c \cdot d\theta_c ; A_{n1} = \frac{2 \cdot E}{\pi} \cdot \frac{1}{n} \cdot \sin(n \cdot \alpha \cdot \pi)$$

$$\text{De même pour } v_2 : v_2 = A_{02} + \sum_{n=1}^{\infty} A_{n2} \cdot \cos(n \cdot \omega_c \cdot t)$$

$$A_{02} = (1 - \alpha) \cdot E ; A_{n2} = \frac{2 \cdot E}{\pi} \cdot \frac{1}{n} \cdot \sin(n \cdot (1 - \alpha) \cdot \pi)$$

Q3.22 :

$$v_e = v_1 - v_2 ; v_e = A_{01} - A_{02} + \sum_{n=1}^{\infty} (A_{n1} - A_{n2}) \cos(n \cdot \omega_c \cdot t)$$

$$\text{Si } n = 2 \cdot k \ (k \in \mathbb{N}^*) : A_{n1} - A_{n2} = \frac{4 \cdot E}{\pi} \cdot \frac{1}{2 \cdot k} \cdot \sin(2 \cdot k \cdot \alpha \cdot \pi) = A_{2k}$$

$$\text{Si } n = 2 \cdot k + 1 \ (k \in \mathbb{N}^*) : A_{n1} - A_{n2} = A_{2k+1} = 0$$

$$A_{01} - A_{02} = A_0 = (2 \cdot \alpha - 1) E$$

Q3.23 :

Vu du primaire du transformateur de traction, les 4 PMCF sont en parallèle.

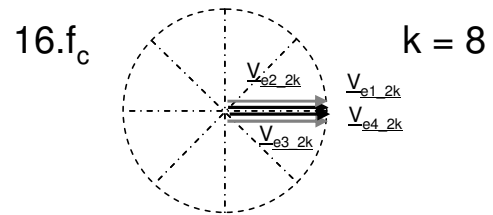
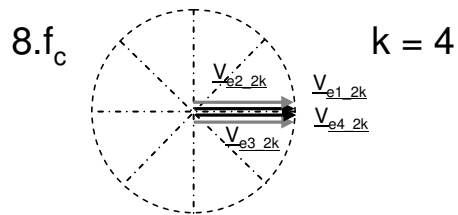
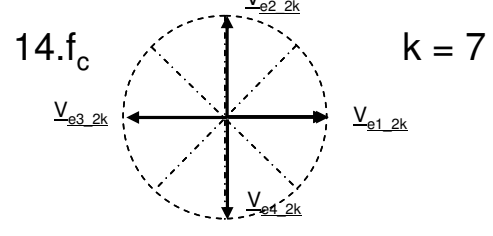
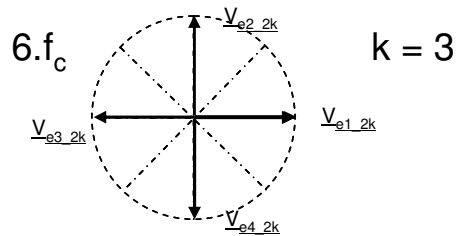
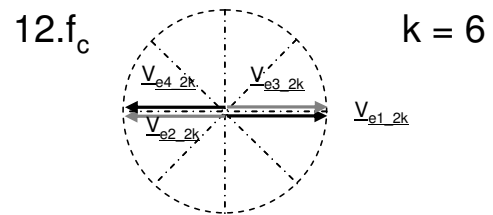
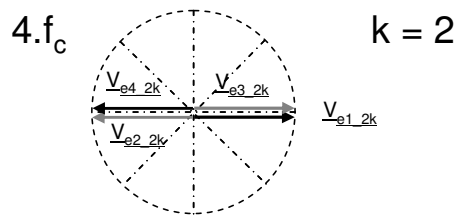
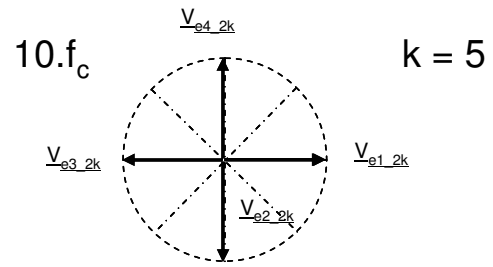
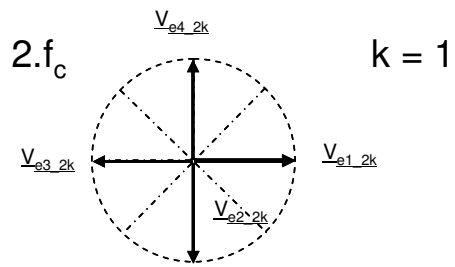
$$\text{Ainsi : } L_a = \frac{L_s}{4 \cdot m^2}$$

Q3.24 :

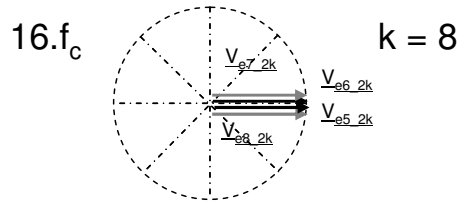
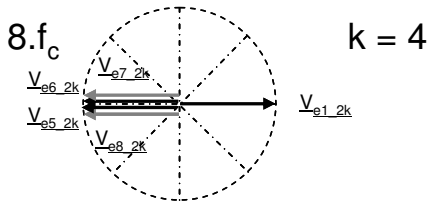
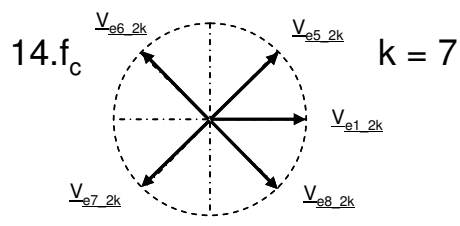
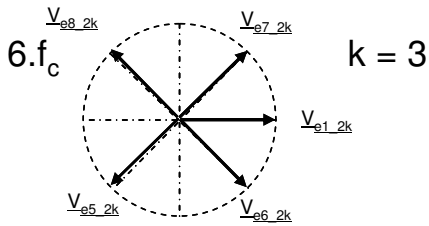
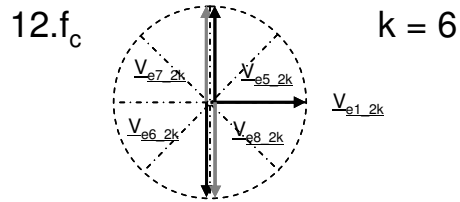
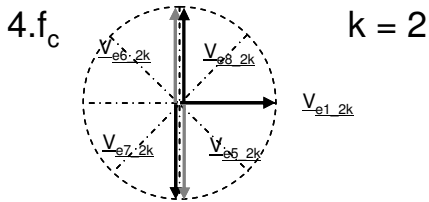
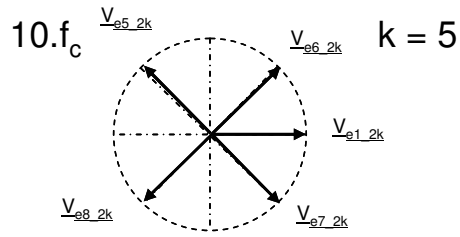
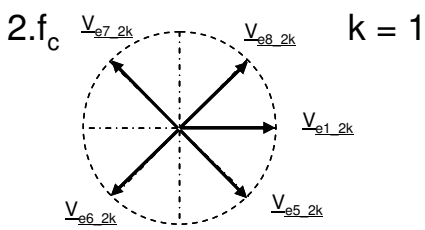
$$v_{a1} = \frac{v_{e1} + v_{e2} + v_{e3} + v_{e4}}{4 \cdot m} \text{ et } v_{a2} = \frac{v_{e5} + v_{e6} + v_{e7} + v_{e8}}{4 \cdot m}$$

Q3.25 :

DR12. Étude de l'entrelacement des PMCF
1er groupe de PMCF – Motrice 1



DR13. Étude de l'entrelacement des PMCF
2eme groupe de PMCF – Motrice 2



Q3.26 :

$$v_{a1_2k} \neq 0 \text{ pour } 2.k = 8 \text{ et } 2.k = 16 ; \hat{V}_{a1_2k} = \frac{4.E}{\pi.m} \cdot \frac{1}{2.k} \cdot \sin(2.k.\alpha.\pi)$$

$$v_{a2_2k} \neq 0 \text{ pour } 2.k = 8 \text{ et } 2.k = 16 ; \hat{V}_{a2_2k} = \frac{4.E}{\pi.m} \cdot \frac{1}{2.k} \cdot \sin(2.k.\alpha.\pi)$$

Q3.27 :

Pour 2.k = 8 et 2.k = 16 :

$$\hat{I}_{motri1_2k} = \frac{\hat{V}_{a1_2k}}{L_a \cdot 2.k.\omega_c} = \frac{4.E}{\pi.m} \cdot \frac{1}{4.k^2} \cdot \frac{4.m^2}{L_s \cdot \omega_c} \cdot \sin(2k.\alpha.\pi) = \frac{4.E}{\pi} \cdot \frac{m}{k^2} \cdot \frac{1}{L_s \cdot \omega_c} \cdot \sin(2k.\alpha.\pi)$$

De même, pour la motrice 2 :

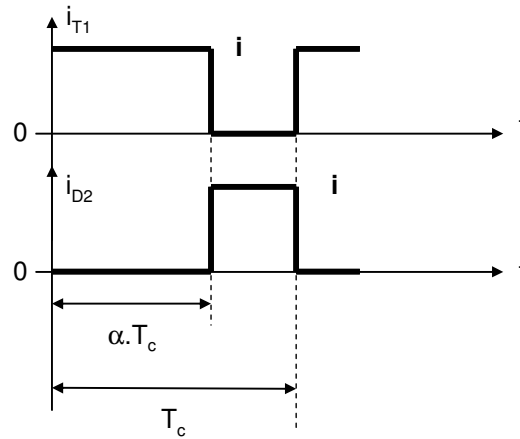
$$\hat{I}_{motri2_2k} = \frac{4.E}{\pi} \cdot \frac{m}{k^2} \cdot \frac{1}{L_s \cdot \omega_c} \cdot \sin(2k.\alpha.\pi)$$

Q3.28 :

Les tracés des systèmes de vecteurs montrent que, pour $k = 4$ ($8.\omega_c$), les systèmes de vecteurs des deux groupes de PMCF sont en opposition de phase. L'harmonique de courant absorbé sur la caténaire pour $k = 4$ est donc nul. Il ne restera donc que l'harmonique de pulsation $16.\omega_c$ ($k = 8$).

$$\text{Ainsi : } \hat{i}_{\text{cat_}2k} = \frac{8.E}{\pi} \cdot \frac{m}{k^2} \cdot \frac{1}{L_s.\omega_c} \cdot \sin(2k.\alpha.\pi) \text{ pour } k = 8.$$

$$\text{Application numérique : } \hat{i}_{\text{cat_}2k} = 740\text{mA à } f = 16.f_c = 8800 \text{ Hz.}$$

B4 ÉTUDE THERMIQUE DES MODULES PALIX.**Q4.1 :**

$$i_{T1\text{moy}} = \alpha.i ; i_{T1\text{eff}}^2 = \alpha.i^2 ; i_{D2\text{moy}} = (1-\alpha)i ; i_{D2\text{eff}}^2 = (1-\alpha).i^2$$

Q4.2 :

$$P_{\text{cond_}T1} = V_{T0}.i_{T1\text{moy}} + r_T.i_{T1\text{eff}}^2$$

$$P_{\text{cond_}T1} = V_{T0}.\alpha.i + r_T.i^2.\alpha$$

$$\text{De même : } P_{\text{cond_}D2} = V_{D0}.(1-\alpha)i + r_D.i^2.(1-\alpha)$$

Q4.3 :

$$P_{\text{com_}T1} = f_c.E_{\text{sw}} = f_c.(a_{\text{sw}}.i^2 + b_{\text{sw}}.i + c_{\text{sw}})$$

$$P_{\text{com_}D2} = f_c.E_{\text{rec}} = f_c.(a_{\text{rec}}.i^2 + b_{\text{rec}}.i + c_{\text{rec}})$$

Q4.4 :

Le transistor T1 et la diode D2 n'ont des pertes qu'à l'échelle d'une demi-période basse fréquence, lorsque le courant $i_s(t)$ est positif. En posant $\theta = \omega.t$, cela correspond à l'intervalle $[\varphi, \pi+\varphi]$.

$$\text{Ainsi : } P_{\text{cond_T1}} = \frac{1}{2\pi} \int_{\varphi}^{\pi+\varphi} [V_{T0} \cdot \alpha(\theta) i_s(\theta) + r_T \cdot \alpha(\theta) i_s^2(\theta)] d\theta$$

$$\text{avec } i_s(\theta) = \hat{i}_s \cdot \sin(\theta - \varphi) \text{ et } \alpha = \frac{1}{2}(1 + m_a \cdot \sin \theta)$$

En utilisant les valeurs des intégrales données dans le sujet :

$$P_{\text{cond_T1}} = \frac{1}{2\pi} \left[\frac{V_{T0} \cdot \hat{i}_s}{2} \left(2 + m_a \cdot \frac{\pi}{2} \cdot \cos \varphi \right) + \frac{r_T}{2} \cdot \hat{i}_s^2 \left(\frac{\pi}{2} + \frac{4}{3} m_a \cdot \cos \varphi \right) \right]$$

Q4.5 :

Pour la diode D2, le calcul est similaire, il faut remarquer que $1 - \alpha(\theta) = \frac{1}{2}(1 - m_a \cdot \sin \theta)$ et il

$$\text{vient : } P_{\text{cond_D2}} = \frac{1}{2\pi} \left[\frac{V_{D0} \cdot \hat{i}_s}{2} \left(2 - m_a \cdot \frac{\pi}{2} \cdot \cos \varphi \right) + \frac{r_D}{2} \cdot \hat{i}_s^2 \left(\frac{\pi}{2} - \frac{4}{3} m_a \cdot \cos \varphi \right) \right]$$

Q4.6 :

$$P_{\text{com_T1}} = \frac{f_c}{2\pi} \int_{\varphi}^{\pi+\varphi} [a_{sw} \cdot i_s^2(\theta) + b_{sw} \cdot i_s(\theta) + c_{sw}] d\theta$$

$$P_{\text{com_T1}} = f_c \left(\frac{a_{sw}}{4} \cdot \hat{i}_s^2 + \frac{b_{sw}}{\pi} \cdot \hat{i}_s + \frac{c_{sw}}{2} \right)$$

Q4.7 :

L'expression des pertes en commutation pour la diode est analogue à celle du transistor :

$$P_{\text{com_D1}} = f_c \left(\frac{a_{rec}}{4} \cdot \hat{i}_s^2 + \frac{b_{rec}}{\pi} \cdot \hat{i}_s + \frac{c_{rec}}{2} \right)$$

Q4.8 :

$$P_{\text{cond_T1}} = 639 \text{ W} ; P_{\text{com_T1}} = 518 \text{ W} ; P_{\text{Trans}} = 1157 \text{ W}$$

Q4.9 :

$$P_{\text{cond_D2}} = 86 \text{ W} ; P_{\text{com_D2}} = 260 \text{ W} ; P_{\text{Diode}} = 346 \text{ W}$$

Q4.10 :

$$\theta_{\text{semelle}} = \theta_{\text{eau}} + 6 \cdot (P_{\text{Trans}} + P_{\text{Diode}}) R_{th2} + (R_{th1} + R_{thcontact}) (P_{\text{Trans}} + P_{\text{Diode}}) = 91^\circ\text{C}$$

Q4.11 :

$$\theta_{j_transistor} = \theta_{semelle} + R_{thjb_transistor} \cdot P_{Trans} = 100,8^{\circ}\text{C}$$

$$\theta_{j_diode} = \theta_{semelle} + R_{thjb_diode} \cdot P_{Diode} = 95,3^{\circ}\text{C}$$

Q4.12 :

Dans un fonctionnement en mode redresseur, compte tenu du sens de transfert de l'énergie, les diodes sont plus sollicitées que les transistors. Les courants moyen et efficace dans les diodes seront plus élevés que dans les transistors.

Q4.13 :

Il n'y a que 4 modules sur la plaque PALIX.

$$\theta_{semelle} = \theta_{eau} + 4 \cdot (P_{Trans} + P_{Diode}) R_{th2} + (R_{th1} + R_{thcontact}) (P_{Trans} + P_{Diode}) = 89,2^{\circ}\text{C}$$

Q4.14 :

$$\theta_{j_transistor} = \theta_{semelle} + R_{thjb_transistor} \cdot P_{Trans} = 95,5^{\circ}\text{C}$$

$$\theta_{j_diode} = \theta_{semelle} + R_{thjb_diode} \cdot P_{Diode} = 99,5^{\circ}\text{C}$$